

УДК 539.3

## НЕСТАЦИОНАРНАЯ ОСЕСИММЕТРИЧНАЯ ЗАДАЧА ЭЛЕКТРОУПРУГОСТИ ДЛЯ ПЬЕЗОКЕРАМИЧЕСКОГО ЦИЛИНДРА С ОКРУЖНОЙ ПОЛЯРИЗАЦИЕЙ

Д. А. Шляхин

Самарский государственный архитектурно-строительный университет, 443001 Самара  
E-mail: sgasu@sgasu.smr.ru

Рассматривается задача о распространении вынужденных электроупругих осесимметричных волн кручения в полном пьезокерамическом цилиндре конечных размеров, на криволинейных электродированных поверхностях которого действуют касательные напряжения или электрический потенциал. Новое замкнутое решение построено методом разложения по собственным вектор-функциям с использованием структурного алгоритма конечных интегральных преобразований, что позволяет определять частоты собственных колебаний, напряженно-деформированное состояние элемента, а также потенциал и напряженность индуцируемого электрического поля.

**Ключевые слова:** связанная задача, прямой и обратный пьезоэффекты, цилиндр конечных размеров, осесимметричная динамическая нагрузка.

**Введение.** Основным элементом широкого класса импульсных преобразователей энергии является пьезокерамический цилиндр конечных размеров, работа которого основана на связанности механических и электрических полей напряжений. В случае окружной поляризации пьезоматериала этот эффект наблюдается только при распространении нестационарных осесимметричных волн кручения. Вследствие сложности данной задачи в большинстве работ решались задачи электроупругости для бесконечного цилиндра при гармоническом воздействии [1, 2] и анализировались свободные колебания толстой пластины при различных краевых условиях на электрические поля [1]. Также можно отметить решение, справедливое для неоднородных кристаллов класса тетрагональной симметрии 422 при действии на криволинейных поверхностях элемента динамической нагрузки в виде электрического потенциала или касательных напряжений [3].

В настоящей работе рассматривается задача о распространении вынужденных электроупругих осесимметричных волн кручения в полном пьезокерамическом цилиндре конечных размеров.

**1. Постановка задачи.** Полый цилиндр, занимающий в цилиндрической системе координат  $(r, \theta, z)$  область  $\{\Omega: a \leq r \leq b, 0 \leq \theta \leq 2\pi, 0 \leq z \leq h\}$ , представляет собой линейно-упругое анизотропное тело и выполнен из пьезокерамического материала с наведенной окружной поляризацией. Рассматривается случай, когда торцевые плоскости элемента не закреплены и свободны от электрических зарядов, а на внутренних и внешних криволинейных электродированных поверхностях действуют касательные напряжения  $\sigma_1^*(z, t)$ ,  $\sigma_2^*(z, t)$  и потенциал  $V^*(z, t)$ .

В данной постановке краевая задача моделирует работу пьезоэлементов в приборах прямого и обратного пьезоэффекта, в первом случае трансформирующих механическое воздействие в соответствующий электрический сигнал (см. варианты “а”, “б” граничных условий на криволинейных плоскостях, приведенные ниже), а во втором — электрическую

нагрузку в деформации (см. вариант “в”). Кроме того, учитываются различные способы измерения индуцируемого электрического сигнала [4]: в варианте “а” радиальные поверхности полностью или частично электродированы и подключены к измерительному прибору с большим входным сопротивлением, что соответствует режиму “холостого хода” (отсутствию свободных электрических зарядов); в варианте “б” полностью электродированные эквипотенциальные плоскости подключены к измерительному прибору с малым входным сопротивлением.

В общем случае дифференциальные уравнения движения и электростатики однородной упругой анизотропной среды в цилиндрической системе координат записываются в виде [1]

$$\begin{aligned} \frac{\partial \sigma_{r\theta}}{\partial r_*} + \frac{\partial \sigma_{z\theta}}{\partial z_*} + \frac{2}{r_*} \sigma_{r\theta} - \rho \frac{\partial^2 v^*}{\partial t_*^2} &= 0, \\ \frac{\partial D_r}{\partial r_*} + \frac{D_r}{r_*} + \frac{\partial D_z}{\partial z_*} &= 0. \end{aligned} \quad (1.1)$$

В случае окружной поляризации уравнения состояния пьезокерамического тела определяются следующими равенствами [1]:

$$\begin{aligned} \sigma_{r\theta} &= C_{55} \left( \frac{\partial v^*}{\partial r_*} - \frac{v^*}{r_*} \right) - e_{15} E_r, & \sigma_{z\theta} &= C_{55} \frac{\partial v^*}{\partial z_*} - e_{15} E_z, \\ D_r &= \varepsilon_{11} E_r + e_{15} \left( \frac{\partial v^*}{\partial r_*} - \frac{v^*}{r_*} \right), & D_z &= \varepsilon_{11} E_z + e_{15} \frac{\partial v^*}{\partial z_*}, \\ E_z &= -\frac{\partial \varphi^*}{\partial z_*}, & E_r &= -\frac{\partial \varphi^*}{\partial r_*}. \end{aligned} \quad (1.2)$$

В соотношениях (1.1), (1.2)  $t_*$  — время;  $\sigma_{r\theta}(r_*, z_*, t_*)$ ,  $\sigma_{z\theta}(r_*, z_*, t_*)$  — компоненты тензора механических напряжений;  $v^*(r_*, z_*, t_*)$  — тангенциальная составляющая вектора перемещений;  $D_r(r_*, z_*, t_*)$ ,  $D_z(r_*, z_*, t_*)$ ,  $E_r(r_*, z_*, t_*)$ ,  $E_z(r_*, z_*, t_*)$  — компоненты векторов индукции и напряженности;  $\varphi^*(r_*, z_*, t_*)$  — потенциал электрического поля;  $\rho$ ,  $C_{55}$ ,  $e_{15}$  — объемная плотность, модуль упругости и пьезомодуль анизотропного электроупругого материала;  $\varepsilon_{11}$  — диэлектрическая проницаемость.

Подставляя (1.2) в (1.1), для рассматриваемой динамической задачи теории электроупругости получаем систему дифференциальных уравнений в безразмерном виде

$$\begin{aligned} \nabla_1 v + \frac{\partial^2 v}{\partial z^2} + e_{15} \left( \nabla_2 + \frac{\partial^2}{\partial z^2} \right) \varphi - \frac{\partial^2 v}{\partial t^2} &= 0, \\ e_{15} \left( \frac{\partial^2}{\partial r^2} + \frac{\partial^2}{\partial z^2} \right) v - C_{55} \varepsilon_{11} \left( \nabla_3 + \frac{\partial^2}{\partial z^2} \right) \varphi &= 0, \end{aligned} \quad (1.3)$$

а также граничные условия

$$z = 0, L: \quad \sigma_{z\theta} = C_{55} \frac{\partial v}{\partial z} + e_{15} \frac{\partial \varphi}{\partial z} = 0, \quad D_z = -C_{55} \varepsilon_{11} \frac{\partial \varphi}{\partial z} + e_{15} \frac{\partial v}{\partial z} = 0; \quad (1.4)$$

$r = 1, k$ :

$$\begin{aligned} \text{а) } \sigma_{r\theta}|_{r=1} &= \frac{\partial v}{\partial r} - \frac{v}{r} + e_{15} \frac{\partial \varphi}{\partial r} = \sigma_1(z, t), & \sigma_{r\theta}|_{r=k} &= \frac{\partial v}{\partial r} - \frac{v}{r} + e_{15} \frac{\partial \varphi}{\partial r} = \sigma_2(z, t), \\ D_r &= -C_{55} \varepsilon_{11} \frac{\partial \varphi}{\partial r} + e_{15} \left( \frac{\partial v}{\partial r} - \frac{v}{r} \right) = 0; \end{aligned} \quad (1.5a)$$

$$\begin{aligned} \text{б)} \quad \sigma_{r\theta}|_{r=1} = \frac{\partial v}{\partial r} - \frac{v}{r} + e_{15} \frac{\partial \varphi}{\partial r} = \sigma_1(z, t), \quad \sigma_{r\theta}|_{r=k} = \frac{\partial v}{\partial r} - \frac{v}{r} + e_{15} \frac{\partial \varphi}{\partial r} = \sigma_2(z, t), \\ E_z = -\frac{\partial \varphi}{\partial z} = 0; \end{aligned} \quad (1.5б)$$

$$\begin{aligned} \text{в)} \quad \sigma_{r\theta}|_{r=1} = \frac{\partial v}{\partial r} - \frac{v}{r} + e_{15} \frac{\partial \varphi}{\partial r} = 0, \quad v(k, z, t) = 0, \\ \varphi(1, z, t) = V(z, t), \quad \varphi(k, z, t) = -V(z, t) \end{aligned} \quad (1.5в)$$

и начальные условия

$$t = 0: \quad v(r, z, 0) = v_0(r, z), \quad \dot{v}(r, z, 0) = \dot{v}_0(r, z). \quad (1.6)$$

В (1.3)–(1.6)  $\{v, r, z, L, k\} = \{v^*, r_*, z_*, h, a\}/b$ ;  $\{\varphi, V, \sigma_1, \sigma_2\} = \{\varphi^*, V^*, \sigma_1^*, \sigma_2^*\}/(bC_{55})$ ;  $t = t_* b^{-1} \sqrt{C_{55}/\rho}$ ;  $v_0, \dot{v}_0$  — известные в начальный момент времени тангенциальные перемещения и их скорости; точка обозначает дифференцирование по времени;

$$\nabla_1 = \frac{\partial^2}{\partial r^2} + \frac{1}{r} \frac{\partial}{\partial r} - \frac{1}{r^2}, \quad \nabla_2 = \frac{\partial^2}{\partial r^2} + \frac{2}{r} \frac{\partial}{\partial r}, \quad \nabla_3 = \nabla_1 + \frac{1}{r^2}.$$

При исследовании прямого пьезоэффекта, для того чтобы осесимметричная нагрузка была самоуравновешенной, должно выполняться условие

$$\int_k^1 \sigma_1(z, t) dz + k \int_k^1 \sigma_2(z, t) dz = 0, \quad (1.7)$$

а при исследовании обратного пьезоэффекта для определенности внутренние радиальные поверхности полагаются закрепленными.

Соотношения (1.3)–(1.7) представляют собой математическую формулировку рассматриваемой начально-краевой задачи электроупругости.

**2. Построение общего решения.** К начально-краевой задаче (1.3)–(1.6) применим косинус-преобразование Фурье с конечными пределами по переменной  $z$ . В пространстве изображений получаем систему дифференциальных уравнений

$$\begin{aligned} \nabla_1 v_c - j_n^2 v_c + e_{15}(\nabla_2 - j_n^2)\varphi_c - \frac{\partial^2 v_c}{\partial t^2} = 0, \\ e_{15} \left( \frac{\partial^2}{\partial r^2} - j_n^2 \right) v_c - C_{55} \varepsilon_{11} (\nabla_3 - j_n^2) \varphi_c = 0, \end{aligned} \quad (2.1)$$

граничные условия при  $r = 1, k$ :

$$\begin{aligned} \text{а)} \quad \left( \frac{\partial}{\partial r} - \frac{1}{r} \right) v_c + e_{15} \frac{\partial \varphi_c}{\partial r} = N_{1c}|_{r=1}, \quad \left( \frac{\partial}{\partial r} - \frac{1}{r} \right) v_c + e_{15} \frac{\partial \varphi_c}{\partial r} = N_{2c}|_{r=k}, \\ -C_{55} \varepsilon_{11} \frac{\partial \varphi_c}{\partial r} + e_{15} \left( \frac{\partial}{\partial r} - \frac{1}{r} \right) v_c = 0; \end{aligned} \quad (2.2а)$$

$$\begin{aligned} \text{б)} \quad \left( \frac{\partial}{\partial r} - \frac{1}{r} \right) v_c + e_{15} \frac{\partial \varphi_c}{\partial r} = N_{1c}|_{r=1}, \quad \left( \frac{\partial}{\partial r} - \frac{1}{r} \right) v_c + e_{15} \frac{\partial \varphi_c}{\partial r} = N_{2c}|_{r=k}, \\ \varphi_c = 0; \end{aligned} \quad (2.2б)$$

$$\begin{aligned} \text{в)} \quad \left( \frac{\partial v_c}{\partial r} - \frac{v_c}{r} + e_{15} \frac{\partial \varphi_c}{\partial r} \right) \Big|_{r=1} = 0, \quad v_c(k, n, t) = 0, \\ \varphi_c(1, n, t) = V_c(n, t), \quad \varphi_c(k, n, t) = -V_c(n, t), \end{aligned} \quad (2.2в)$$

а также начальные условия

$$t = 0: \quad v_c(r, n, 0) = v_{0c}(r, n), \quad \dot{v}_c(r, n, 0) = \dot{v}_{0c}(r, n), \quad (2.3)$$

где

$$\begin{aligned} & \{v_c(r, n, t), \varphi_c(r, n, t), v_{0c}(r, n), \dot{v}_{0c}(r, n), N_{1c}(1, n, t), N_{2c}(k, n, t), V_c(n, t)\} = \\ & = \int_0^L \{v(r, z, t), \varphi(r, z, t), v_0(r, z), \dot{v}_0(r, z), \sigma_1(1, z, t), \sigma_2(k, z, t), V(z, t)\} \cos(j_n z) dz, \\ & j_n = n\pi/L \quad (n = \overline{0, \infty}). \end{aligned}$$

Приводя в начально-краевой задаче (2.1)–(2.3) краевые условия к однородным, трансформанты Фурье  $v_c, \varphi_c$  представим в виде

$$v_c(r, n, t) = H_1(r, n, t) + p_c(r, n, t), \quad \varphi_c(r, n, t) = H_2(r, n, t) + \chi_c(r, n, t), \quad (2.4)$$

где для варианта граничных условий “а”

$$H_1(r, n, t) = \frac{C_{55}\varepsilon_{11}e_{15}}{C_{55}\varepsilon_{11} + e_{15}^2} [f_1(r)N_{1c} + f_2(r)N_{2c}], \quad H_2(r, n, t) = f_3(r)N_{1c} + f_4(r)N_{2c},$$

для варианта граничных условий “б”

$$H_1(r, n, t) = f_1(r)N_{1c} + f_2(r)N_{2c}, \quad H_2(r, n, t) = 0,$$

для варианта граничных условий “в”

$$H_1(r, n, t) = 0, \quad H_2(r, n, t) = f_3(r)V_c.$$

Подставляя (2.4) в (2.1)–(2.3) и учитывая, что для варианта граничных условий “а”

$$\begin{aligned} f_1(1) = f_1(k) = f_2(1) = f_2(k) = f_1'(k) = f_2'(1) = 0, \\ f_1'(1) = f_2'(k) = e_{15}^{-1}, \quad f_3'(1) = f_4'(k) = e_{15}/(C_{55}\varepsilon_{11} + e_{15}^2), \\ f_3'(k) = f_4'(1) = 0, \end{aligned} \quad (2.5a)$$

для варианта граничных условий “б”

$$\begin{aligned} f_1(1) = f_1(k) = f_2(1) = f_2(k) = f_1'(k) = f_2'(1) = 0, \\ f_1'(1) = f_2'(k) = 1, \end{aligned} \quad (2.5б)$$

для варианта граничных условий “в”

$$f_3(1) = -f_3(k) = 1, \quad f_3'(1) = 0 \quad (2.5в)$$

(штрих обозначает дифференцирование по переменной  $r$ ), получаем начально-краевую задачу относительно функций  $p_c, \chi_c$  с однородными граничными условиями по координате  $r$ , которая включает дифференциальные уравнения

$$\begin{aligned} \nabla_1 p_c - j_n^2 p_c + e_{15}(\nabla_2 - j_n^2)\chi_c - \frac{\partial^2 p_c}{\partial t^2} = B_{1c}, \\ e_{15}\left(\frac{\partial^2}{\partial r^2} - j_n^2\right)p_c - C_{55}\varepsilon_{11}(\nabla_3 - j_n^2)\chi_c = B_{2c}, \end{aligned} \quad (2.6)$$

граничные условия при  $r = 1, k$ :

$$а) \quad \left(\frac{\partial}{\partial r} - \frac{1}{r}\right)p_c = 0, \quad \frac{\partial \chi_c}{\partial r} = 0; \quad (2.7a)$$

$$\text{б)} \quad \left( \frac{\partial}{\partial r} - \frac{1}{r} \right) p_c + e_{15} \frac{\partial \chi_c}{\partial r} = 0, \quad \chi_c = 0; \quad (2.7\text{б})$$

$$\text{в)} \quad \left( \frac{\partial p_c}{\partial r} - \frac{p_c}{r} + e_{15} \frac{\partial \chi_c}{\partial r} \right) \Big|_{r=1} = 0, \quad p_c(k, n, t) = 0, \quad \chi_c = 0 \quad (2.7\text{в})$$

и начальные условия

$$t = 0: \quad p_c(r, n, 0) = p_{0c}(r, n), \quad \dot{p}_c(r, n, 0) = \dot{p}_{0c}(r, n), \quad (2.8)$$

где

$$B_{1c} = - \left( \nabla_1 - j_n^2 - \frac{\partial^2}{\partial t^2} \right) H_1 - e_{15} (\nabla_2 - j_n^2) H_2,$$

$$B_{2c} = -e_{15} \left( \frac{\partial^2}{\partial r^2} - j_n^2 \right) H_1 + C_{55} \varepsilon_{11} (\nabla_3 - j_n^2) H_2,$$

$$p_{0c}(r, n) = v_{0c}(r, n) - H_1 \Big|_{t=0}, \quad \dot{p}_{0c}(r, n) = \dot{v}_{0c}(r, n) - \dot{H}_1 \Big|_{t=0}.$$

Для вариантов граничных условий “а”, “б” функции  $f_1(r), \dots, f_4(r)$  определяются из дифференциальных уравнений

$$f_1^{(\text{IV})}(r) = f_2^{(\text{IV})}(r) = 0, \quad f_3''(r) = f_4''(r) = \text{const}, \quad (2.9\text{а})$$

для варианта граничных условий “в” — из дифференциального уравнения

$$f_3^{(\text{IV})}(r) = 0. \quad (2.9\text{б})$$

Начально-краевую задачу (2.6)–(2.8) относительно  $p_c(r, n, t)$ ,  $\chi_c(r, n, t)$  будем решать с использованием структурного алгоритма метода конечных интегральных преобразований [5]. На сегменте  $[k, 1]$  введем вырожденное конечное интегральное преобразование с неизвестными компонентами  $K_1(\lambda_{in}, r)$ ,  $K_2(\lambda_{in}, r)$  вектор-функции ядра преобразования:

$$G(\lambda_{in}, n, t) = \int_k^1 p_c(r, n, t) K_1(\lambda_{in}, r) r dr,$$

$$p_c(r, n, t) = \sum_{i=1}^{\infty} G(\lambda_{in}, n, t) K_1(\lambda_{in}, r) \|K_{in}\|^{-2}, \quad (2.10)$$

$$\chi_c(r, n, t) = \sum_{i=1}^{\infty} G(\lambda_{in}, n, t) K_2(\lambda_{in}, r) \|K_{in}\|^{-2}, \quad \|K_{in}\|^2 = \int_k^1 K_1^2(\lambda_{in}, r) r dr$$

( $\lambda_{in}$  ( $i = \overline{1, \infty}$ ) — положительные параметры, образующие счетное множество;  $\|K_{in}\|$  — норма вектор-функции вырожденного преобразования). При этом круговые частоты осесимметричных колебаний цилиндра  $\omega_{in}$  связаны с  $\lambda_{in}$  зависимостью

$$\omega_{in} = (\lambda_{in}/b) \sqrt{C_{55}/\rho}. \quad (2.11)$$

Преобразуя систему уравнений (2.6) в соответствии со структурным алгоритмом [5], получаем счетное множество задач Коши для трансформанты  $G(\lambda_{in}, n, t)$ :

$$\ddot{G}(\lambda_{in}, n, t) + \lambda_{in}^2 G(\lambda_{in}, n, t) = -F(\lambda_{in}, n, t) \quad (n = \overline{0, \infty}, \quad i = \overline{1, \infty}); \quad (2.12)$$

$$G(\lambda_{in}, n, 0) = G_0(\lambda_{in}, n), \quad \dot{G}(\lambda_{in}, n, t) \Big|_{t=0} = \dot{G}_0(\lambda_{in}, n), \quad t = 0, \quad (2.13)$$

а также однородную краевую задачу для компонент  $K_1, K_2$  ядра конечного интегрального преобразования, которая включает дифференциальные уравнения

$$\begin{aligned} \nabla_1 K_1 + (\lambda_{in}^2 - j_n^2) K_1 + e_{15} (\nabla_2 - j_n^2) K_2 &= 0, \\ e_{15} \left( \frac{d^2}{dr^2} - j_n^2 \right) K_1 - C_{55} \varepsilon_{11} (\nabla_3 - j_n^2) K_2 &= 0 \end{aligned} \quad (2.14)$$

и граничные условия при  $r = 1, k$ :

$$\text{а) } \left( \frac{d}{dr} - \frac{1}{r} \right) K_1 = 0, \quad \frac{dK_2}{dr} = 0; \quad (2.15\text{а})$$

$$\text{б) } \left( \frac{d}{dr} - \frac{1}{r} \right) K_1 + e_{15} \frac{dK_2}{dr} = 0, \quad K_2 = 0; \quad (2.15\text{б})$$

$$\text{в) } \left( \frac{dK_1}{dr} - \frac{K_1}{r} + e_{15} \frac{dK_2}{dr} \right) \Big|_{r=1} = 0, \quad K_1(\lambda_{in}, k) = 0, \quad K_2 = 0. \quad (2.15\text{в})$$

В (2.12), (2.13)

$$F(\lambda_{in}, n, t) = \int_k^1 (B_{1c} K_1 + B_{2c} K_2) r dr,$$

$$G_0(\lambda_{in}, n) = \int_k^1 p_{0c} K_1 r dr, \quad \dot{G}_0(\lambda_{in}, n) = \int_k^1 \dot{p}_{0c} K_1 r dr.$$

С учетом (2.13) решение уравнения (2.12) записывается в виде

$$G(\lambda_{in}, n, t) = G_0 \cos \lambda_{in} t + \dot{G}_0 \lambda_{in}^{-1} \sin \lambda_{in} t + \lambda_{in}^{-1} \int_0^t F(\lambda_{in}, n, \tau) \sin \lambda_{in} (t - \tau) d\tau. \quad (2.16)$$

С использованием новых функций  $R_1(\lambda_{in}, r), R_2(\lambda_{in}, r)$ , связанных с  $K_1(\lambda_{in}, r), K_2(\lambda_{in}, r)$  соотношениями

$$\begin{aligned} K_1(\lambda_{in}, r) &= -\nabla_4 R_1(\lambda_{in}, r) + \nabla_5 R_2(\lambda_{in}, r), \\ K_2(\lambda_{in}, r) &= -\frac{e_{15}}{C_{55} \varepsilon_{11}} [\nabla_4 R_1(\lambda_{in}, r) + \nabla_6 R_2(\lambda_{in}, r)], \end{aligned} \quad (2.17)$$

систему (2.14) можно привести к следующему разрешающему дифференциальному уравнению относительно  $R_1, R_2$ :

$$\nabla_7 R_1 + \nabla_8 R_2 = 0. \quad (2.18)$$

Здесь

$$\begin{aligned} \nabla_4 &= r^2 \frac{d^3}{dr^3} - 3r \frac{d^2}{dr^2} + 3 \frac{d}{dr}, \\ \nabla_5 &= r^2 \frac{d^2}{dr^2} + 3r \frac{d}{dr} - j_n^2 r^2, \quad \nabla_6 = -r^2 \frac{d^2}{dr^2} - 2r \frac{d}{dr} + 2 + j_n^2 r^2, \\ \nabla_7 &= b_1 r^2 \frac{d^5}{dr^5} + (3b_1 + 1)r \frac{d^4}{dr^4} + (b_2 r^2 - 3b_1) \frac{d^3}{dr^3} + \left( 3b_2 r - \frac{3}{r} \right) \frac{d^2}{dr^2} + \left( \frac{3}{r^2} - 3b_2 \right) \frac{d}{dr}, \end{aligned}$$

$$\nabla_8 = -b_1 r^2 \frac{d^4}{dr^4} - 8b_1 r \frac{d^3}{dr^3} + [(b_2 + j_n^2 b_1) r^2 - 12b_1] \frac{d^2}{dr^2} + (3b_2 + 5j_n^2 b_1) r \frac{d}{dr} + j_n^2 (4b_1 + 1 - b_2 r^2),$$

$$b_1 = 1 + e_{15}^2 / (C_{55} \varepsilon_{11}), \quad b_2 = \lambda_{in}^2 + j_n^2 b_1.$$

Частное решение дифференциального уравнения (2.18) найдем с помощью следующих представлений функций  $R_1(\lambda_{in}, r)$ ,  $R_2(\lambda_{in}, r)$ :

$$R_1(\lambda_{in}, r) = (P_{1in} r^3 + P_{2in} r^5 + P_{3in} r^7) J_0(\sigma_{in} r) + (P_{4in} r^4 + P_{5in} r^6) J_1(\sigma_{in} r),$$

$$R_2(\lambda_{in}, r) = (P_{6in} r^2 + P_{7in} r^4 + P_{8in} r^6) J_0(\sigma_{in} r) + (r + P_{9in} r^3 + P_{10in} r^5 + P_{11in} r^7) J_1(\sigma_{in} r). \quad (2.19)$$

Здесь  $J_0(\cdot)$ ,  $J_1(\cdot)$  — функция Бесселя первого рода нулевого и первого порядка;  $\sigma_{in}$ ,  $P_{1in}, \dots, P_{11in}$  — неизвестные на данном этапе исследования коэффициенты.

Приравнявая к нулю все множители равенства (2.18), преобразованного с учетом (2.19), получаем систему неоднородных алгебраических уравнений относительно неизвестных коэффициентов  $P_{1in}, \dots, P_{11in}$ , а также характеристическое уравнение для  $\sigma_{in}$

$$\sigma_{in}^2 - 4\lambda_{in}^2 \sigma_{in} + 2\lambda_{in}^4 = 0. \quad (2.20)$$

Учитывая соотношения (2.17), (2.19), а также то, что корни характеристического уравнения (2.20) положительны, получаем частное решение системы (2.14):

$$K_1(\lambda_{in}, r) = \eta_{in}(r) J_0(\sigma_{in} r) + \gamma_{in}(r) J_1(\sigma_{in} r),$$

$$K_2(\lambda_{in}, r) = \mu_{in}(r) J_0(\sigma_{in} r) + \psi_{in}(r) J_1(\sigma_{in} r). \quad (2.21)$$

Система уравнений, при решении которой определяются коэффициенты  $P_{1in}, \dots, P_{11in}$ , а также выражения для  $\eta_{in}(r)$ ,  $\gamma_{in}(r)$ ,  $\mu_{in}(r)$ ,  $\psi_{in}(r)$  в данной работе не приводятся.

С учетом (2.21) и рекуррентных соотношений относительно функций Бесселя первого и второго рода [6] фундаментальное решение системы (2.14) записывается следующим образом:

$$K_1(\lambda_{in}, r) = \sum_{j=1}^2 D_{jin} [\eta_{jin}(r) J_0(\sigma_{jin} r) + \gamma_{jin}(r) J_1(\sigma_{jin} r)] +$$

$$+ \sum_{j=1}^2 D_{(2+j)in} [\eta_{(2+j)in}(r) Y_0(\sigma_{jin} r) + \gamma_{(2+j)in}(r) Y_1(\sigma_{jin} r)],$$

$$K_2(\lambda_{in}, r) = \sum_{j=1}^2 D_{jin} [\mu_{jin}(r) J_0(\sigma_{jin} r) + \psi_{jin}(r) J_1(\sigma_{jin} r)] +$$

$$+ \sum_{j=1}^2 D_{(2+j)in} [\mu_{(2+j)in}(r) Y_0(\sigma_{jin} r) + \psi_{(2+j)in}(r) Y_1(\sigma_{jin} r)]. \quad (2.22)$$

Здесь  $Y_\mu(\cdot)$  — функции Бесселя второго рода порядка  $\mu$  ( $\mu = 0, 1$ ).

Подставляя (2.22) в граничные условия (2.15), получаем однородную систему уравнений относительно постоянных  $D_{1in}, \dots, D_{4in}$ . Найдя ее нетривиальные решения, получаем трансцендентное уравнение для вычисления собственных значений  $\lambda_{in}$

$$\det [B_{mp}] = 0 \quad (m = \overline{1, 4}, \quad p = \overline{1, 4}),$$

а также выражения для постоянных  $D_{1in}, \dots, D_{4in}$ .

Без ограничения общности примем  $D_{4in} = 1$ . Остальные постоянные интегрирования можно определить при решении следующей системы неоднородных уравнений:

$$\begin{bmatrix} B_{11} & B_{12} & B_{13} \\ B_{21} & B_{22} & B_{23} \\ B_{31} & B_{32} & B_{33} \end{bmatrix} \begin{bmatrix} D_{1in} \\ D_{2in} \\ D_{3in} \end{bmatrix} = \begin{bmatrix} B_{14} \\ B_{24} \\ B_{34} \end{bmatrix}.$$

**3. Расчетные формулы.** Заключительным этапом исследования является определение функций  $f_1(r), \dots, f_4(r)$ , входящих в представления (2.4). Используя дифференциальные уравнения (2.9) и соответствующие граничные условия (2.5), имеем:

— для варианта граничных условий “а”

$$\begin{aligned} f_1(r) &= [e_{15}(k-1)^2(2k+1)]^{-1}[-r^3 + (2k+1)r^2 - k(k+2)r + k^2], \\ f_2(r) &= [e_{15}(k-1)^2]^{-1}[r^3 - (k+2)r^2 + (2k+1)r - k], \\ f_3(r) &= \frac{e_{15}}{(C_{55}\varepsilon_{11} + e_{15}^2)(1-k)}(0,5r^2 - kr), \quad f_4(r) = \frac{e_{15}}{(C_{55}\varepsilon_{11} + e_{15}^2)(k-1)}(0,5r^2 - r); \end{aligned}$$

— для варианта граничных условий “б”

$$\begin{aligned} f_1(r) &= -[(k-1)^2(2k+1)]^{-1}[-r^3 + (2k+1)r^2 - k(k+2)r + k^2], \\ f_2(r) &= (k-1)^{-2}[r^3 - (k+2)r^2 + (2k+1)r - k]; \end{aligned}$$

— для варианта граничных условий “в”

$$f_3(r) = (k-1)^{-2}(-2r^2 + 4r + k^2 - 2k - 1).$$

Применяя к трансформанте (2.16) последовательно формулы обращения (2.10), а затем формулы конечных косинус-преобразований Фурье, с учетом (2.4) получаем следующие разложения для  $v(r, z, t)$ ,  $\varphi(r, z, t)$ :

$$\begin{aligned} v(r, z, t) &= \sum_{n=0}^{\infty} \Omega^{-1} \left[ H_1(r, n, t) + \sum_{i=1}^{\infty} G(\lambda_{in}, n, t) K_1(\lambda_{in}r) \|K_{in}\|^{-2} \right] \cos(j_n z), \\ \varphi(r, z, t) &= \sum_{n=0}^{\infty} \Omega^{-1} \left[ H_2(r, n, t) + \sum_{i=1}^{\infty} G(\lambda_{in}, n, t) K_2(\lambda_{in}r) \|K_{in}\|^{-2} \right] \cos(j_n z). \end{aligned}$$

Здесь

$$\Omega_n = \begin{cases} L, & n = 0, \\ L/2, & n \neq 0. \end{cases}$$

При исследовании прямого пьезоэффекта разность потенциалов  $Q(t_*)$  между электродированными радиальными плоскостями пьезокерамического цилиндра определяется следующим образом [7]:

— для варианта граничных условий “а”

$$Q(t_*) = Q(b, t_*) - Q(a, t_*);$$

— для варианта граничных условий “б”

$$Q(t_*) = \varphi^*(b, z_*, t_*) - \varphi^*(a, z_*, t_*).$$



Здесь

$$Q(b, t_*) = (h_2 - h_1)^{-1} \int_{h_1}^{h_2} \varphi(b, z_*, t_*) dz_*, \quad Q(a, t_*) = (h_4 - h_3)^{-1} \int_{h_3}^{h_4} \varphi(a, z_*, t_*) dz_*,$$

$h_1, \dots, h_4$  — границы электродированных внешних и внутренних цилиндрических поверхностей.

**4. Численный анализ результатов.** В качестве примера рассмотрим пьезокерамический цилиндр ( $a = 0,5b$ ,  $h = 1,5b$ ), изготовленный из состава ЦТС-19 [1]. В таблице приведены собственные значения  $\lambda_{in}$  ( $i = \overline{1, 3}$ ) для первых трех мод осесимметричных волн кручения цилиндра при различном количестве полуволн вдоль его образующей ( $n = \overline{0, 3}$ ). Из таблицы следует, что скорость распространения волн зависит от способа измерения электрического сигнала (варианты граничных условий “а”, “б”). При подключении прибора с большим входным сопротивлением (вариант граничных условий “а”) собственные значения больше. Кроме того, в этом случае наблюдается перестройка тонов колебаний. При фиксированном значении  $i$  с увеличением  $n$  появляются более низкие частоты.

Собственные значения  $\lambda_{in}$  для первых трех мод осесимметричных волн кручения цилиндра

$i$	$\lambda_{in}$							
	Вариант граничных условий “а”				Вариант граничных условий “б”			
	$n = 0$	$n = 1$	$n = 2$	$n = 3$	$n = 0$	$n = 1$	$n = 2$	$n = 3$
1	0,181	0,489	0,358	0,435	0,148	0,307	0,473	0,585
2	0,922	0,685	0,386	0,473	0,224	0,687	0,781	0,844
3	1,484	1,251	0,515	0,665	0,642	1,261	1,861	1,975

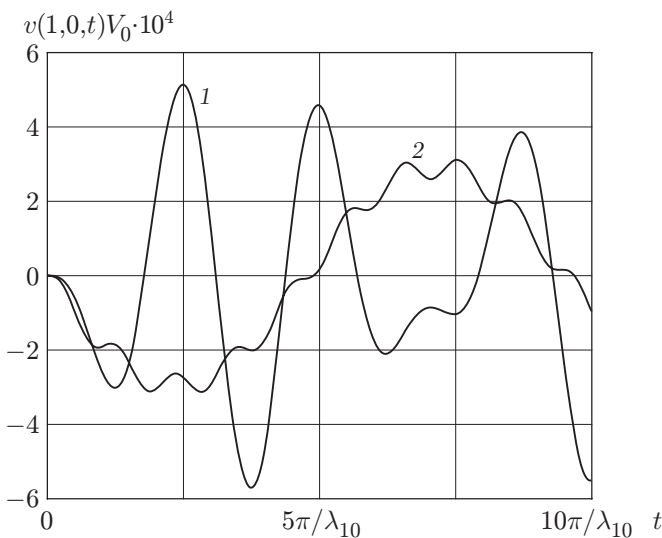


Рис. 1

Рис. 1. Зависимость тангенциальных перемещений внешней криволинейной поверхности цилиндра от времени:

1 —  $\theta = 0,6\lambda_{10}$ ; 2 —  $\theta = 0,2\lambda_{10}$

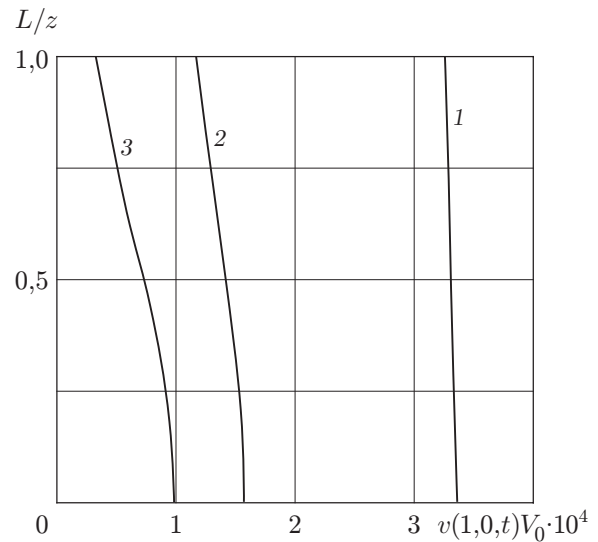


Рис. 2

Рис. 2. Изменение относительных перемещений по высоте цилиндра:

1 —  $a = 0,75b$ ; 2 —  $a = 0,5b$ ; 3 —  $a = 0,25b$

На рис. 1 показана зависимость тангенциальных перемещений внешней криволинейной поверхности цилиндра от времени  $t$  в случае приложения электрической нагрузки  $V(z, t) = V(t) = V_0 \sin \theta t$  при различных частотах вынужденных колебаний  $\theta$  ( $\lambda_{10}$  — собственные значения основного тона колебаний).

Результаты расчета показывают, что допущение о стационарном режиме вынужденных колебаний можно использовать только при существенном различии частотных характеристик внешнего воздействия и основного тона собственных значений цилиндра.

На рис. 2 показано изменение относительных перемещений по высоте цилиндра ( $r = 1$ ,  $\theta = 0,3\lambda_{10}$ ,  $h = b$ ) в случае приложения осесимметричной электрической нагрузки на половине исследуемого элемента ( $h_1 = h_3 = 0$ ,  $h_2 = h_4 = h/2$ ) при различной толщине стенок цилиндра. Из рис. 2 следует, что на характер изменения исследуемых величин существенное влияние оказывает уменьшение толщины элемента.

Следует отметить, что построенный алгоритм позволяет получать решения для рассматриваемого цилиндра и при других физически реализуемых электрических и механических краевых условиях.

#### ЛИТЕРАТУРА

1. **Гринченко В. Т.** Механика связанных полей в элементах конструкций / В. Т. Гринченко, А. Ф. Улитко, Н. А. Шульга. Киев: Наук. думка, 1989.
2. **Шульга Н. А.** Колебания пьезоэлектрических тел / Н. А. Шульга, А. М. Болкисев. Киев: Наук. думка, 1990.
3. **Сеницкий Ю. Э.** Динамическая задача электроупругости для неоднородного цилиндра // Прикл. математика и механика. 1993. Т. 57, вып. 1. С. 116–122.
4. **Ермолов И. Н.** Ультразвуковые преобразователи для неразрушающего контроля. М.: Машиностроение, 1986.
5. **Сеницкий Ю. Э.** Многокомпонентное обобщенное конечное интегральное преобразование и его приложение к нестационарным задачам механики // Изв. вузов. Математика. 1991. № 4. С. 57–63.
6. **Янке Е.** Специальные функции: Формулы, графики, таблицы / Е. Янке, Ф. Эмде, Ф. Леш. М.: Наука, 1977.
7. **Тамм И. Е.** Основы теории электричества. М.: Наука, 1989.

*Поступила в редакцию 5/XII 2007 г.*

---